

КІНЕТИКА КРИСТАЛІЗАЦІЇ CaCO_3 . КВАЗІРІВНОВАЖНА МОДЕЛЬ

В. З. Кочмарський

Національний університет водного господарства і природокористування,
м. Рівне
e-mail: as270@nuwm.rv.ua

Досліджено кінетику кристалізації CaCO_3 з гідрокарбонатної системи (ГКС) при $\text{pH} < 10$. Для моделювання процесів в ГКС використовувалось квазірівноважне наближення. Показано, що в такому наближенні стан ГКС повністю визначається двома параметрами – концентрацією CO_2 та pH . Інші параметри та їх зміна у часі можуть бути розраховані за цими двома. Розрахунки порівнюються з дослідними даними вимірювань pCa , pCO_2 , pCO_3 та pH . Показано, що інтенсивна кристалізація є суттєво нерівноважним процесом і квазірівноважні розрахунки адекватні дослідним даним лише на кінцевому етапі кристалізації.

Ключові слова: кристалізація, гідрокарбонатна система, квазірівноважна модель, нерівноважний процес.

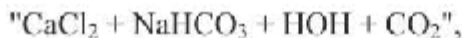
Вступ

Розуміння фізико-хімічних зasad процесу кристалізації карбонату кальцію, крім чисто теоретичного інтересу щодо кристалізації, яка супроводжується хімічними реакціями, має практичне значення [1-8] для багатьох галузей водної техніки. Зокрема, це стосується процесів кольматації водопродуктивних свердловин, розробки способів запобігання твердим відкладенням на граничних поверхнях, що контактують з водним середовищем, де відкладення погіршують умови транспорту води, чи відкладень на поверхнях теплообміну, які знижують ефективність теплообмінників і призводять до втрат енергоресурсів та скорочення терміну придатності обладнання.

Метою роботи є побудова фізико-хімічної та математичної моделей процесу контролюваної кристалізації карбонатів у квазірівноважному наближенні та порівняння розрахункових даних з результатами експерименту, щоб визначити граници застосовності цього наближення.

1 Формулювання моделі процесу кристалізації CaCO_3

Розглянемо відкриту гідрокарбонатну систему (ГКС) типу:



яка обмінюється з оточенням двооксидом вуглецю CO_2 і у якій можливе виділення твердого карбонату кальцію. Вважаємо, що у даній ГКС $\text{pH} < 10$. Позначимо мольні концентрації компонентів системи, моль/дм³:

$$\begin{aligned} X_1 &= [\text{HCO}_3^-], \quad X_2 = [\text{CO}_2], \quad X_3 = [\text{CO}_3^{2-}], \quad X_4 = [\text{OH}^-], \quad X_5 = [\text{Cl}^-], \quad X_6 = [\text{H}_2\text{O}], \\ X_7 &= [\text{H}^+], \quad X_8 = [\text{Ca}^{2+}], \quad X_{10} = [\text{CaCO}_3], \quad X_{18} = [\text{CaHCO}_3^+], \quad X_{38} = [\text{CaCO}_3^0], \quad (1) \\ \text{Sc} &= X_1 + X_2 + X_3. \end{aligned}$$

Приймемо, що хлориди та іони натрію є нейтральними щодо процесів перетворення компонентів ГКС. Звичайно, таке припущення не зовсім правильне, хоча б тому, що концентрація цих іонів змішося солевміст системи і впливає на величину коефіцієнтів активностей її компонентів, але тут цим знехтуємо.

З закону збереження загальної кількості молів карбонатів отримуємо, що у будь-який момент часу динаміка зміни суми концентрацій карбонатів Sc, див. позначення (1), у ГКС описується рівняннями:

$$\frac{dS_c}{dt} = \begin{cases} \dot{X}_2^{dg} - \dot{X}_{18} - \dot{X}_{38}; \\ \dot{X}_2^{dg} - \dot{X}_{10} - \dot{X}_{18} - \dot{X}_{38}, \end{cases} \quad (2)$$

де \dot{X}_2^{dg} – швидкість видалення (газообміну) CO_2 з маточного розчину; \dot{X}_{10} , \dot{X}_{18} , \dot{X}_{38} – швидкості виділення твердого CaCO_3 та утворення відповідних іонних комплексів; у подальшому позначаємо $\frac{dX}{dt} = \dot{X}$.

Перше рівняння (2) стосується процесів обміну CO_2 з атмосферою, коли кристалізація CaCO_3 відсутня, проте іонні комплекси можуть утворюватися. Друге – враховує виділення твердого CaCO_3 (доданок \dot{X}_{10}) та паралельне утворення іонних комплексів.

Співвідношення (2) слід доповнити рівняннями, які випливають із закону збереження загальної кількості молів сполук зі вмістом іонів кальцію:

$$X_8 + X_{18} + X_{38} = S_{Ca}^o, \quad (3a)$$

без виділення твердих карбонатів та з виділенням твердого CaCO_3 :

$$X_8 + X_{10} + X_{18} + X_{38} = S_{Ca}^o \quad (3b)$$

де S_{Ca}^o – стала початкова сума концентрацій компонентів із вмістом кальцію, моль/дм³.

В обох випадках (з кристалізацією і без), підставляючи (3a) і (3b) в (2), отримуємо кінетичне рівняння для суми карбонатів [3-5]:

$$\dot{S}_c = \dot{X}_2^{dg} + \dot{X}_8, \quad (4)$$

з якого випливає кінтичне рівняння для іонів кальцію, вільне від будь-яких припущення щодо механізму кристалізації [5]:

$$\dot{X}_8 = \dot{S}_c - \dot{X}_2^{dg} = \dot{X}_1 + \dot{X}_2 + \dot{X}_3 + a_2 \cdot (X_2 - X_{2e}). \quad (5)$$

В (5) процес обміну CO_2 (швидкості дегазації-сатурації) змодельовано наближенням Генрі:

$$\dot{X}_2^{dg} = -a_2 \cdot (X_2 - X_{2e}), \quad (6)$$

де a_2 – константа Генрі для дегазації CO_2 ; X_{2e} – рівноважна до атмосферної концентрація CO_2 у розчині.

Припустимо, що процеси у ГКС відбуваються квазірівноважно. Тут це розуміємо так, що реакції взаємного перетворення компонентів всередині ГКС

$$X_2 + X_6 \rightleftharpoons X_1 + X_7; \quad X_1 \rightleftharpoons X_3 + X_7; \quad X_3 \rightleftharpoons X_1 + X_7, \quad (7)$$

відбуваються набагато швидше, ніж процеси газообміну чи кристалізації (адіабатне наближення для кінетики кристалізації). Критерієм адекватності такого наближення є ступінь збіжності модельних розрахунків і дослідних даних.

Кристалізація відсутня

За цих умов з (4) отримуємо вираз для швидкості зміни концентрації іонів кальцію, а з (3a) їх концентрацію. Врахуємо, що при рівновазі реакцій (7) сума карбонатів може бути записано у вигляді співвідношення:

$$S_c = X_2 \cdot f_2(X_7), \quad f_2(X_7) = 1 + \frac{K_1}{\gamma_1^2 \cdot X_7} \cdot \left(1 + \frac{K_2}{\gamma_2 \cdot X_7} \right), \quad (8)$$

де K_1 , K_2 – термодинамічні константи рівноважної дисоціації вугільної кислоти першого та другого ступенів, γ_1 , γ_2 – коефіцієнти активності одно- та двохарядних іонів.

Підставивши (5) та (8) у (4), отримуємо:

$$\dot{X}_8 = f_2(X_7) \cdot \dot{X}_2 + X_2 \cdot f'_2(X_7) \cdot \dot{X}_7 + a_2 \cdot (X_2 - X_{2e}), \quad (9)$$

де $f'_2(X_7)$ - похідна по X_7 від $f_2(X_7)$,

$$X_8 = S_{Ca}^o \cdot f_8(X_2, X_7), \quad f_8(X_2, X_7) = \frac{1}{1 + \frac{\gamma_2 \cdot K_1}{\gamma_1^2 \cdot K_{18}} \cdot \frac{X_2}{X_7} \left(1 + \frac{K_2 \cdot K_{18}}{K_{38} \cdot X_7} \right)}, \quad (10)$$

$$X_i^e = \frac{K_1 \cdot X_2}{\gamma_1^2 \cdot X_7}, \quad X_i^e = \frac{K_1 \cdot K_2 \cdot X_2}{\gamma_1^2 \cdot \gamma_2 \cdot X_7^2}. \quad (11)$$

де K_{18} , K_{38} – термодинамічні константи рівноважної дисоціації X_{18} ; та X_{38} , X_i^e - рівноважні за (7) концентрації компонентів.

Рівняння (9) – (11) представляють закони зміни концентрації Ca^{2+} та інших компонентів ГКС у квазірівноважному наближенні, коли відсутня кристалізація, тобто $X_{10} = 0$. З виразів (9) та (10) випливає, що зміна концентрації Ca^{2+} у квазірівноважному наближенні залежить лише від швидкості зміни концентрації розчиненого CO_2 та pH системи. Діапазон зміни концентрації Ca^{2+} визначається ємкістю підсистеми кальцієвих гідрокарбонатних та карбонатних комплексів, тобто не перевищує (6 – 15)% від початкової концентрації іонів кальцію.

Кристалізація присутня

Вплив виділення твердого $CaCO_3$ на стан гідрокарбонатної системи (ГКС) описується рівнянням (36) та (4). Інтегруючи останнє, отримуємо:

$$X_8(t) = X_8(t_o) + S_C(t) - S_C^o - \Delta X_2^{dg}(t). \quad (12)$$

$$\Delta X_2^{dg} = -a_2 \cdot \int_{t_o}^t (X_2(t_1) - X_{2e}) \cdot dt_1. \quad (13)$$

Комбінуючи (12) та (36), знаходимо вираз для концентрації карбонату кальцію для $t > t_{cr}$ (часу початку кристалізації):

$$X_{10} = S_{Ca}^o - X_8 \cdot f_8(X_2, X_7). \quad (14)$$

З (12) та (14) бачимо, що як і у випадку відсутності кристалізації, концентрація твердого $CaCO_3$, іонів кальцію і всіх параметрів ГКС у квазірівноважному наближенні контролюється залежностями pH(t), та $X_2(t)$. Якщо виділення CO_2 відсутнє ($\Delta X_2^{dg}(t) = 0$), то зміна концентрації Ca^{2+} визначається лише зміною суми концентрацій карбонатних компонентів, див. (8), яка при невеликих перепадах pH близька до зміни концентрації розчиненого CO_2 . Саме така ситуація спостерігається у теплообмінниках, де при наближенні до гарячої стінки розчинність двооксиду вуглецю знижується, що супроводжується виділенням еквівалентної кількості твердих форм кальцію.

Якщо зміна pH значна, наприклад завдяки додаванню лугу, то перепад концентрації іонів кальцію може бути суттєвим і виділення твердого карбонату кальцію можливе у великих кількостях, навіть без газообміну.

При газообміні ($\Delta X_2^{dg}(t) \neq 0$) кристалізація $CaCO_3$ можлива і при pH = Const. Саме такий метод дослідження кристалізації карбонату кальцію запропоновано в роботі [1]. У цьому випадку перепад концентрації іонів кальцію дається виразом:

$$\Delta X_8(t) = X_8(t) - X_8(t_o) = [X_2(t) - X_2(t_o)] \cdot f_2(X_7) - \Delta X_2^{dg}(t). \quad (15)$$

Оскільки ΔX_2 у нейтральних та слабо лужних водах мале, то при сталому pH виділення твердих форм кальцію контролюється дегазацією CO_2 .

Система рівнянь (2) – (15) дозволяє розрахувати параметри ГКС: $[HCO_3^-]$, $[Ca(HCO_3)^+]$, $[Ca^{2+}]$, $[CaCO_3]$ та ін., вимірюючи величини pH та $[CO_2]$, не вникаючи у суть механізму кристалізації. Це звична властивість методів розрахунку, що ґрунтуються на використанні законів збереження, зокрема, (2) та (3) і які встановлюють зв'язки між початковими та кінцевими параметрами ГКС.

Обробляючи експериментальні дані на підставі рівнянь (2) – (15), можемо судити про адекватність прийнятої моделі, тобто переконатись у тому, чи справедливе припущення про рівноважність реакцій (7) в процесі стимульованої кристалізації в ГКС. Щоб це зробити, необхідно мати можливість незбурюючих вимірювань pH та pCO_2 у майже безперервному режимі.

2 Установка та методика експериментів

Кінетичні дослідження ГКС виконувалися на комплексі АКВА, описаному раніше в роботі [9]. Схема установки показана на рис. 1. Для забезпечення контролюваної кристалізації реакційне середовище (роздин $NaHCO_3$, приготований на дистилляті з провідністю 2:3 $\mu\text{Cm}/\text{cm}$) у вимірювальній камері 14, попередньо насичувалось двооксидом вуглецю з балона 17 до стабільних показів давачів, створюючи таким чином ГКС. Кристалізація ініціювалася видавленням CO_2 з ГКС продувкою повітрям, для чого використовувався мікрокомпресор 16, який під'єдинувався до камери через газовий ротаметр 18, а розпилення повітря забезпечувалося металопористою насадкою 13. Процес кристалізації контролювався набором іонселективних електродів 1...8, а температура в камері підтримувалася в межах $(25 \pm 0.2)^\circ\text{C}$ термостатом 20 завдяки циркуляції теплоносія у водяній оболонці 15 камери 14. Гомогенізація маточного розчину забезпечувалася пропелерною мішалкою 12 з електроприводом 10.

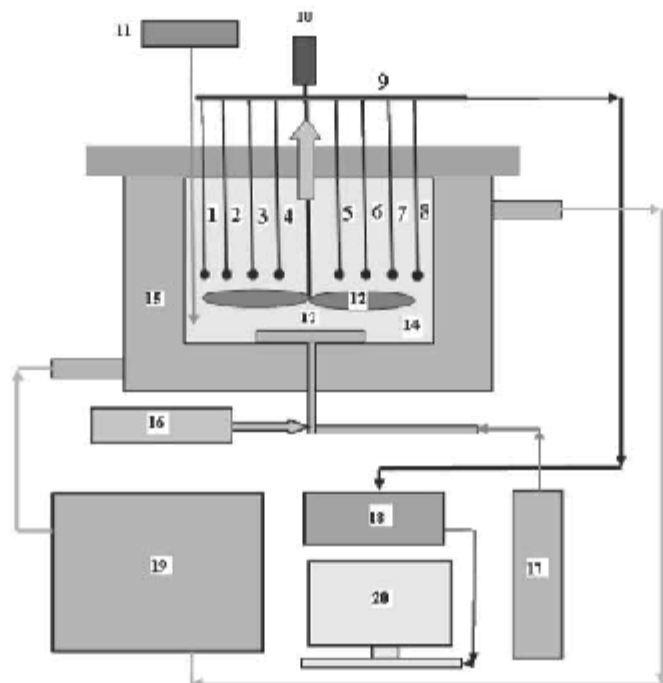


Рис. 1. Блок - схема комплексу АКВА в режимі дослідження процесів кристалізації карбонату кальцію з перегаснених ГКС.

- 1..8 – вимірювальні електроди: порівняння, pH, Eh, pCO_2 , pCa , pCO_3 , давач електропровідності і температури відповідно. 9- шина давачів;
- 19- електродвигун мішалки; 11- система дозування реагентів;
- 12- мішалка; 13- металопористий диспергатор; 14- вимірювальна камірка;
- 15- оболонка системи стабілізації температури камірки; 16- компресор системи дегазації камірки; 17- балон з діоксидом вуглецю;
- 18- високоомний підсилювач електродних сигналів; 19-термостат 1ТЖ-0-03; 20- ПК та програмований електронний комутатор.

Після стабілізації температури і калібрування давачів за методикою [10] записували параметри початкового стану (температуру, $p\text{Ca}$, $p\text{CO}_3$, $p\text{CO}_2$, pH, електропровідність та світлопропускання), цьому на рис. 2 відповідає початкова горизонтальна ділянка кривої. Після цього в автоматичному режимі робили дегазацію CO_2 , опитуючи давачі з періодом $\Delta t = 27\text{c}$ ($i = 51 - 300$). Тривалість окремого експерименту не перевищувала 180 хв. Для кожного складу ГКС виконувалось по п'ять серій дослідів, результати яких при обробці даних усереднювалися.

Дегазація CO_2 з насиченої системи „ $\text{CaCl}_2 + \text{NaHCO}_3 + \text{CO}_2$ ” вела до росту pH і, відповідно, концентрації іонів HCO_3^- та CO_3^{2-} і масової кристалізації CaCO_3 , що фіксувалися давачами в режимі реального часу. На рис. 2 - 7, представлені результати досліджень розчинів з концентраціями $\text{NaHCO}_3 \approx 10 \text{ Моль}/\text{м}^3$, $\text{CaCl}_2 \approx 5 \text{ Моль}/\text{м}^3$, усереднені для серії з п'яти експериментів.

3 Обговорення результатів

На рис. 2 на прикладі запису зміни pH показано всі етапи динамічного процесу, який реалізується за даною методикою. Тривалість одного циклу вимірювань 135 хв. Початкова горизонтальна ділянка на рис. 2 відповідає проміжку калібруванням давачів, різке падіння pH – насичення ГКС двооксидом вуглецю, ріст pH – дегазація CO_2 , ділянка після максимуму pH відповідає масовій кристалізації CaCO_3 , монотонний ріст pH – кінцева фаза кристалізації. Діапазон зміни pH від 5.3 до 8.4.

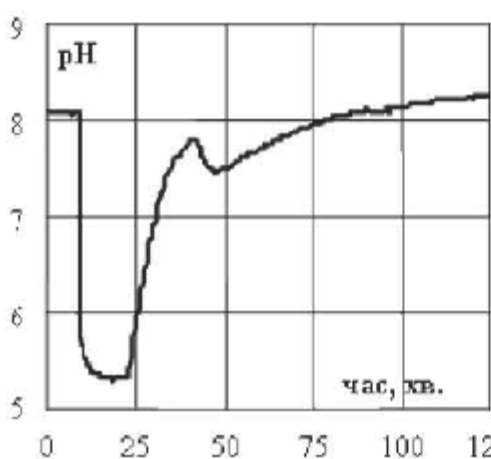


Рис. 2. Запис даних зміни pH при кристалізації CaCO_3 з модельного розчину на комплексі АКВА. Горизонтальна ділянка на кривій зліва – початковий стан розчину.

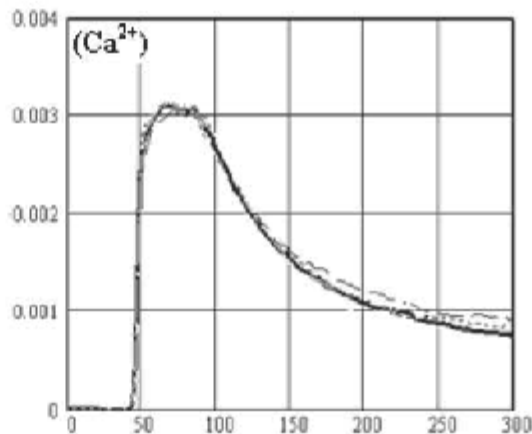


Рис. 3. Кінетичні криві активної концентрації іонів Ca^{2+} , моль/дм³. Дегазація починається з вищшу $i = 50$. Особливістю поведінки активності іонів Ca^{2+} є ріст для $i = 55 - 70$, після чого починається кристалізація.

Повторюваність експериментів в межах серії демонструє рис. 3, на якому показані дані $p\text{Ca}$ для серії з п'яти дослідів. Бачимо задовільну збіжність даних, дисперсія яких в межах (5-10)% помітна лише на кінцевій стадії кристалізації. Товста крива на рис. 3 – усереднення за серією з п'яти дослідів. Розчин CaCl_2 дозувався у вимірну комірку починаючи з 50-го виміру, що видно на рис. 3. Впродовж 55-70 вимірів на кінетичній кривій кальцію є характерна ділянка (тривалістю 7 хв.), де концентрація іонів Ca^{2+} зростає. Цей ріст пояснюється розпадом комплексів CaHCO_3^+ , який ініціюється дегазацією CO_2 . При цьому сума концентрацій іонів кальцію та кальцій-іонних комплексів залишається сталою, оскільки для цих часів виділення твердого CaCO_3 ще відсутнє.

Порівняння даних дослідів та розрахунків концентрації Ca^{2+} в рамках квазірівноважного наближення за формулою (10) при відсутності кристалізації показано на рис. 4.

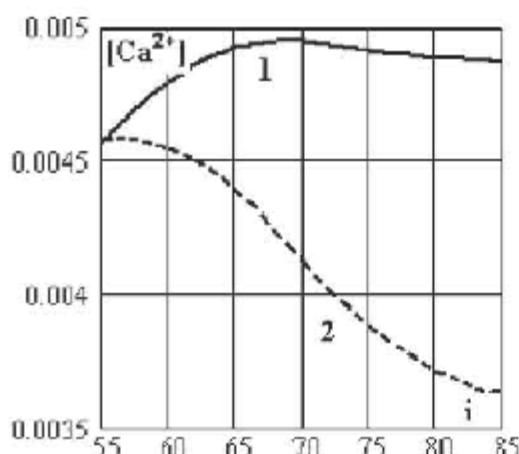


Рис. 4. Порівняння концентрацій кальцію, M/dm^3 , дослідних, крива 1 та розрахункових даних, крива 2, за відсутності виділення $CaCO_3$. На горизонтальній осі номер вимірювання i . Інтервал між вимірами 27 с.

концентрація більша від початкової концентрації кальцію $5 \cdot 10^{-3}$ моль/дм 3). Лише починаючи з вимірювання $i = 120$ (момент часу 54 хв.) розраховані величини наближаються до вимірюваних і практично збігаються на кінцевій фазі кристалізації для $i > 220$ (99 хв. від початку вимірювань).

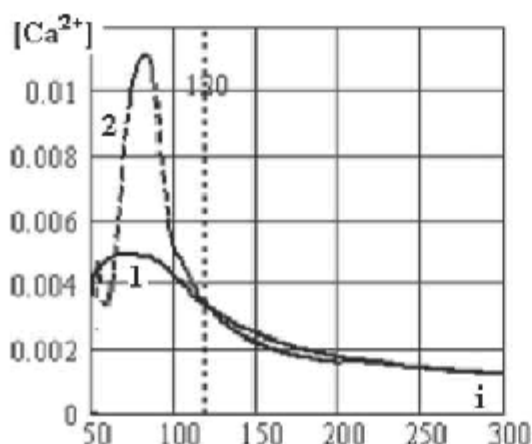


Рис. 5. Залежність мольної концентрації Ca^{2+} від номеру вимірювання i . Крива 1 – дослідні дані, крива 2 – розрахунок за (12).

Бачимо, що розрахована концентрація суттєво відрізняється від вимірюваних даних. Зокрема, вимірювана концентрація Ca^{2+} демонструє ріст до вимірювання $i = 70$, а квазірівноважний розрахунок дає плавне падіння без початкового росту. Це вказує на те, що процес зміни концентрації іонів кальцію, зумовлений виділенням двооксиду вуглецю з ГКС, є суттєво нерівноважним, а використання співвідношень рівноваги (10) для розрахунків концентрації призводить до різниці між розрахунковими і дослідними концентраціями Ca^{2+} більшої від 25%.

Порівняння дослідних та вимірюваних даних при виділенні твердого $CaCO_3$ показано на рис. 5 та 6. З рис. 5, крива 2, та 6, бачимо, що розрахунки за формулою (12) для часів 22÷54 хв. (вимірюваннями 50÷120) дуже відрізняються від вимірюваних величин i , більше того, мають не фізичні значення (поточна розрахункова



Рис. 6. Залежність відношення дослідної та розрахованої за (12) концентрації іонів Ca^{2+} від номеру вимірювання i .

Зауважимо ще одну особливість. Порівнюючи рис. 4 та 5, бачимо, що поведінка концентрації Ca^{2+} на проміжку $i = 50–85$ залежить і від способу розрахунку. Розрахунок кривої 2 на рис. 4 вівся за формулою (10), а на рис. 6 – за (12). Цей факт теж свідчить про неадекватність квазірівноважного наближення дослідним даним.

Щоб простежити за релаксацією реакцій, зв'язаних з CO_2 , представимо швидкість трансформації двооксиду вуглецю у вигляді, де явно виділено складові дегазації та внутрісистемних перетворень, які позначимо як R_2 ,

$$\dot{X}_2 = a_2 \cdot (X_2 - X_{2e}) + R_2. \quad (16)$$

Використовуючи дані $a_2 = 0.129 c^{-1}$ та $X_{2e} = 2.55 \cdot 10^{-5}$ моль/дм 3 , отримані при підгонці розрахункових за (10) та дослідних даних концентрації Ca^{2+} , див. рис. 5, для швидкості реакцій R_2 отримано залежність, показану на рис. 7.

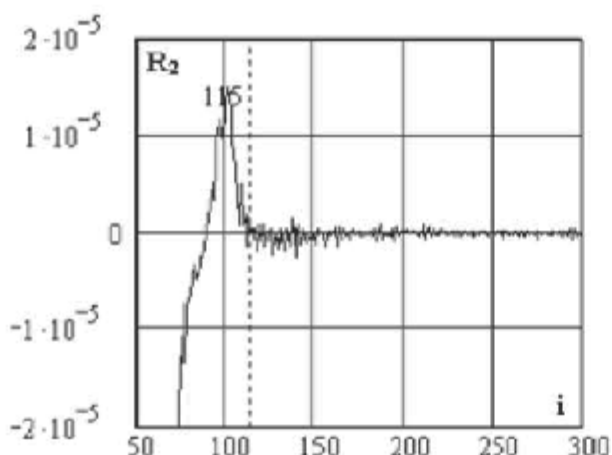


Рис. 7. Часова динаміка швидкості внутрісистемних реакцій перетворення CO_2 у ГКС, M°s . Бачимо, що ці реакції практично урівноважуються на 115 виміру.

У проміжку часу ($i = 50 \div 100$), де відбувається інтенсивна дегазація CO_2 і реакції протікають за час менший, після 11 хв. квазірівноважне наближення не чинне. У наших дослідах воно дає задовільні результати, починаючи зі 125 виміру для реакцій (7), а для процесу кристалізації CaCO_3 стає практично точним для $i > 200$.

Отже, квазірівноважне наближення (реакції (7) приймаються рівноважними) справедливе лише для процесів, які відбуваються з характерним часом $\tau > 11$ хв. Для таких процесів нерівноважність не залежить від наявності кристалізації. Як бачимо з рис. 5 – 8, застосування для розрахунків параметрів ГКС виразів (11) у зоні нерівноважності може дати нереальні значення параметрів або відхилення розрахованих і вимірюваних величин більші ніж на 50%.

Висновки

1. Для аналізу кінетики кристалізації CaCO_3 з модельної, попередньо насиченої CO_2 ГКС, застосоване квазірівноважне наближення. Суть наближення полягає у використанні законів збереження кількості молів карбонатів та кальцію і рівноважних співвідношень (8) – (11) для розрахунку зміни у часі основних параметрів ГКС, зокрема, концентрацій кальцієвих, бікарбонатних та карбонатних іонів та твердого CaCO_3 , що виділяється у процесі кристалізації.

2. У межах цього наближення отримано вирази для розрахунку параметрів ГКС, які однозначно виражаються через концентрації CO_2 та pH. Через це концентрація твердого CaCO_3 залежить від зміни концентрації CO_2 та pH. Оскільки переважно зміна pH невелика, то кількість твердого CaCO_3 визначається саме зміною концентрації CO_2 , яка може наступати внаслідок дегазації (градирні, бризкальні басейни), або зумовленою градієнтом температури, зміною розчинності CO_2 у теплообмінниках. У цих випадках кількість скристалізованого CaCO_3 приблизно рівна кількості видаленого CO_2 , або зміні його розчинності.

3. Розраховані величини порівнюються з дослідними даними, які отримані впродовж процесу кристалізації як результат майже безперервних (з інтервалом 27 с) та практично

З цього рисунка випливає, що рівновага у підсистемі CO_2 настає на 115 вимірі, тобто через 29 хв. після початку дегазації та 7 хв. після початку масової кристалізації, максимум якої досягається при $i = 100$.

Рівновагу щодо перших двох реакцій (7) характеризує співвідношення:

$$G_{13} = \frac{X_3}{X_3^e} = \frac{Y_3 \cdot Y_7^2}{K_1 \cdot K_2 \cdot X_2}, \quad (17)$$

де Y_i – активності відповідних іонів, показані на рис. 8. З цього рисунка бачимо, що рівновага у підсистемі $\{X_1, X_2, X_3, X_7\}$ наступає після 125 виміру, або через 11 хв. після початку масової кристалізації, що близьке до даних рис. 5 – 7.

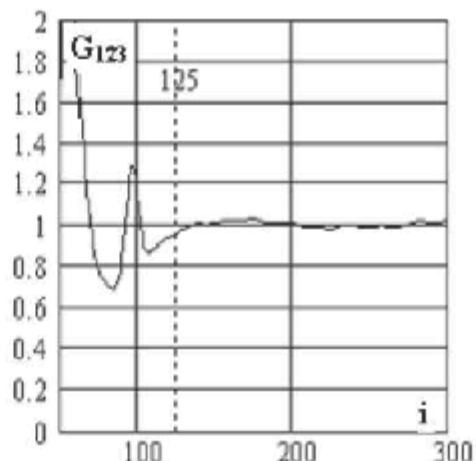


Рис. 8. Залежність фактора G_{123} спільної рівноваги щодо реакцій (7) від номеру виміру.

одномоментних вимірювань основних параметрів ГКС (концентрацій Ca^{2+} , CO_2 , HCO_3^- та CO_3^{2-}) на комплексі АКВА.

4. Порівняння розрахованих та вимірюних величин однозначно вказує на суттєву нерівноважність процесів, що протікають у ГКС при дегазації CO_2 та супутній кристалізації CaCO_3 . Позірна рівновага у ГКС наступає лише через 11 хв. після початку масової кристалізації. З цього випливає несприпустимість використання рівноважних співвідношень (8) – (11) для розрахунку параметрів ГКС для процесів з часом релаксації меншим ніж 11 хв. Розрахунки за формулами (8) – (11) в зоні нерівноважності дають нереальні значення або похибку, що перевищує 50%.

5. Квазірівноважна кінетика концентрації Ca^{2+} наближається до реальних значень лише через 11 хв. після початку масової кристалізації і стає практично точною на завершальному етапі процесу.

6. Нерівноважні процеси у ГКС такі, як дегазація, або зміна іонного складу, часто використовуються в техніці, наприклад, випарне охолодження води в градирнях або близької басейнах, усунення бікарбонатів на іонообмінних фільтрах, тощо. Розрахунки таких процесів з використанням квазірівноважних виразів (8) – (11) та прогноз стану ГКС на підставі них можуть бути далекими від дійсності.

КИНЕТИКА КРИСТАЛЛИЗАЦИИ CaCO_3 . КВАЗИРАВНОВЕСНАЯ МОДЕЛЬ

В. З. Кочмарский

Национальный университет водного хозяйства и природопользования

г. Ровно

e-mail: as270@nuwm.rv.ua

Исследована кинетика кристаллизации CaCO_3 из гидрокарбонатной системы (ГКС) при $pH < 10$. Для моделирования процессов в ГКС использовалось квазиравновесное приближение. Показано, что при таком приближении состояние ГКС полностью определяется двумя параметрами – концентрацией CO_2 и pH . Другие параметры и их изменение во времени могут быть рассчитаны по этим двум. Расчеты сравниваются с опытными данными измерений pCa , pCO_2 , pCO_3 и pH . Показано, что интенсивная кристаллизация является существенно неравновесным процессом и квазиравновесные расчеты адекватны опытным данным лишь на конечном этапе кристаллизации.

Ключевые слова: кристаллизация, гидрокарбонатная система, квазиравновесная модель, неравновесный процесс.

KINETICS OF CaCO_3 CRYSTALLIZATION. QUASIEQUILIBRIUM MODEL

V. Kochmarskii

National University of water industry and environmental management, Rivne

e-mail: as270@nuwm.rv.ua

CaCO_3 crystallization kinetics from hydrocarbonate systems (HCS) at $pH < 10$ is being investigated. Quaziequilibrium approximation is used for process modeling with HCS. It has been shown that the state of HCS in such approximation is fully determined by two parameters': CO_2 concentration and pH . Other parameters and their change in time may be calculated by the two factors. Calculations are compared with the experimental data of pCa , pCO_2 , pCO_3 and pH measurements. It has been show that intensive crystallization is an essentially nonequilibrium process and quaziequilibrium calculations are adequate to experimental data only in the final stage of crystallization.

Key words: crystallization, hydrocarbonate system, quaziequilibrium model, nonequilibrium process.

Список літератури:

1. *Plummer L. X. The Kinetics of Calcite Dissolution in CO₂ - Water Systems at 5° to 60°C and 0.0 to 1.0 atm CO₂ / L. X. Plummer , T.M. L. Vigley , D. L. Parkhurst // American Journal of Science. – 1978. – Vol. 278. – P. 179 – 216.*
2. *Кочмарський В. З. Состояние проблемы противонакипной обработки воды в СССР / В. З. Кочмарський , Д. Н. Поступов. – К.: Знаніє, 1986. – 20 с.*
3. *Кочмарський В. З. Прогнозування складу води та відкладень солей твердості в циркуляційних системах охолодження / В. З. Кочмарський, В. Р. Гаевський, О. В. Кочмарський // Мат. II н/т конф. УДАВГ. – 1996. – С. 30-31.*
4. *Кочмарський В. З. Про правомірність використання рівноважних співвідношень між компонентами карбонатної водної системи в процесах сaturaції та дегазації / В. З. Кочмарський, В. Р. Гаевський // Мат. III н/т конф. УДАВГ, Фундам. науки. – 1997. – С. 11- 16.*
5. *Кочмарський В. З. Про механізм кристалізації CaCO₃ з водних карбонатних систем / В. З. Кочмарський // Вісник РДТУ. – 1999. – Вип. 2, ч. 2. – С. 37 – 46.*
6. *Кочмарський В. З. Аналіз динаміки трасерів в оборотних системах охолодження / В. З. Кочмарський, В. Р. Гаевський // Гідромеліорація і гідротехнічне будівництво. Збірник наукових праць НУВГП. – 2007. – Вип. 32. – С. 166 – 173.*
7. *Кочмарський В. З. Динаміка накипінів в оборотних системах охолодження / В. З. Кочмарський, В. Р. Гаевський, О. В. Кочмарський // Вісник НУВГП. – 2008. – Вип. 1(41). – С. 282 – 291.*
8. *Кочмарський В. З. Аналіз режиму стабілізації оборотної води системи охолодження Зуївської ТЕС / [В. З. Кочмарський, В. Р. Гаевський, О. В. Кочмарський та ін.]. // Вісник НУВГП. – 2008. – Вип. 2(42). – С. 306 – 314.*
9. *Гаевський В. Р. Метрологічні дослідження і випробовування аналізатора водних систем АКВА/ В. Р. Гаевський, В. З. Кочмарський // Мат. III н/т конф. УДАВГ, Фунд. Науки. – 1997. – С. 7-10.*
10. *В. З. Кочмарський Процедура динамічної корекції даних pCO₂ та pH давачів у водних системах / В. З. Кочмарський, В. Р. Гаевський // Вісник НУВГП. – 2004. – Вип. 3(27). – С. 258-264.*